

Techniques d'évaluation pour la décomposition primaire d'un idéal de polynômes zéro-dimensionnel.

Clémence Durvye

UMR 8100 du CNRS

Laboratoire de mathématiques

Université de Versailles

Saint-Quentin-en-Yvelines

France

Problématique

Soit K un corps de caractéristique zéro, de clôture algébrique \overline{K} .

Soient $f_1, \dots, f_s, g \in K[x_1, \dots, x_n]$ tels que le système

$$f_1 = \dots = f_s = 0, g \neq 0$$

admette un ensemble fini de solutions dans \overline{K}^n .

On cherche à calculer tous les zéros $p = (p_1, \dots, p_n) \in \overline{K}^n$ de

$$(f_1, \dots, f_s) : g^\infty = \{f \mid \exists m \geq 0, g^m f \in (f_1, \dots, f_s)\}$$

avec leurs algèbres locales

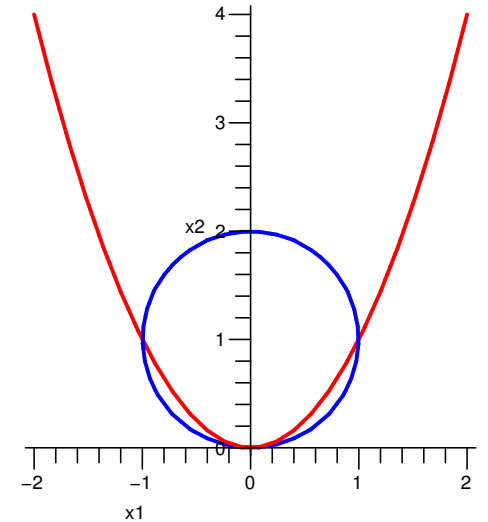
$$\mathbb{D}_p = \overline{K}[[x_1 - p_1, \dots, x_n - p_n]] / ((f_1, \dots, f_s) : g^\infty).$$

Exemple

$$n = 2, K = \mathbb{Q}, g = 1.$$

$$\begin{cases} f_1 = x_1^2 + (x_2 - 1)^2 - 1, \\ f_2 = x_2 - x_1^2. \end{cases}$$

$$\begin{cases} \mathbb{D}_{(0,0)} = \bar{\mathbb{Q}}[[x_1, x_2]]/(x_1^2, x_2), \\ \mathbb{D}_{(-1,1)} = \bar{\mathbb{Q}}[[x_1 + 1, x_2 - 1]]/(x_1 + 1, x_2 - 1), \\ \mathbb{D}_{(1,1)} = \bar{\mathbb{Q}}[[x_1 - 1, x_2 - 1]]/(x_1 - 1, x_2 - 1). \end{cases}$$



$$\mathbb{D}_{(0,0)} \text{ est décrite par } M_{x_1} = \begin{pmatrix} 0 & 0 \\ 1 & 0 \end{pmatrix} \text{ et } M_{x_2} = \begin{pmatrix} 0 & 0 \\ 0 & 0 \end{pmatrix}.$$

Résultat Principal

Théorème [*Durvye 07*]

Sous les hypothèses précédentes,

il existe un **algorithme probabiliste** qui calcule

- les racines p du système,
- les matrices de multiplication par x_1, \dots, x_n dans une base de leur algèbre locale \mathbb{D}_p ,

avec

$\tilde{O}(D^{11} + (L + ns)D^6)$ opérations arithmétiques dans K ,

où

- n est le nombre de variables,
- L est le coût d'évaluation de f_1, \dots, f_s, g donnés par un circuit arithmétique,
- et $D = d^n$, où $d \geq 2$ est le maximum des degrés de f_1, \dots, f_s .

Historique de la Décomposition Primaire : Cas Général

Entrée : une famille f_1, \dots, f_s de polynômes.

Sortie : une famille de générateurs de “chaque” idéal primaire.

Algorithmes

- [*Gianni, Trager, Zacharias 88*],
- [*Eisenbud, Huneke, Vasconcelos 92*],
- [*Shimoyama, Yokohama 94*],
- [*Decker, Greuel, Pfister 99*],
- [*Steel 05*] (caractéristique positive),
- [*Gao, Wan, Wang 06*] (corps finis),...

↪ ces algorithmes se réduisent au cas zéro-dimensionnel ;

↪ ils procèdent par calcul de bases de Gröbner ;

↪ les polynômes y sont représentés dans la base des monômes.

Historique de la Décomposition Primaire : Cas Zéro-Dimensionnel

Entrée : une famille f_1, \dots, f_s de polynômes.

Sortie : pour toute racine du système, les matrices de multiplication par les variables dans une base de son algèbre locale \mathbb{D}_p .

Algorithme Global

↪ algèbre linéaire dans $K[x_1, \dots, x_n]/(f_1, \dots, f_s)$

(bases de Gröbner)

– [*Alonso, Becker, Roy, Wörmann 96*], ...

Algorithmes Locaux (après le calcul d'une racine p du système)

↪ élimination dans $\overline{K}[[x_1 - p_1, \dots, x_n - p_n]]$

(bases standard, ordres locaux)

– [*Mora 91*], [*Greuel, Pfister 96*]

↪ dualité entre polynômes et opérateurs différentiels.

– [*Mourrain 96*], [*Dayton, Zeng 05*]

Avantages du nouvel Algorithme

Notre algorithme mélange des méthodes locales et globales.

↪ il n'utilise ni bases de Gröbner, ni bases standard :

- dans le cas zéro-dimensionnel, cela permet d'éviter un coefficient binomial dans l'analyse de coût de l'algorithme.
- cet algorithme peut sans doute être généralisé au calcul des composantes primaires dans le cas général.

↪ il repose entièrement sur des techniques d'évaluation :

- le coût de l'algorithme de Mourrain fait intervenir “le nombre de monômes obtenus par dérivation des monômes de f_1, \dots, f_s ”.

Plan de l'exposé

1. Position de Noether, élément primitif et représentation de Kronecker.
2. Calcul du radical : l'algorithme Kronecker.
3. Module localisé de la courbe et intersection.

1. Position de Noether, élément primitif et représentation de Kronecker.
2. Calcul du radical : l'algorithme Kronecker.
3. Module localisé de la courbe et intersection.

Position de Noether Générale

Soit \mathcal{I} un idéal de $K[x_1, \dots, x_n]$.

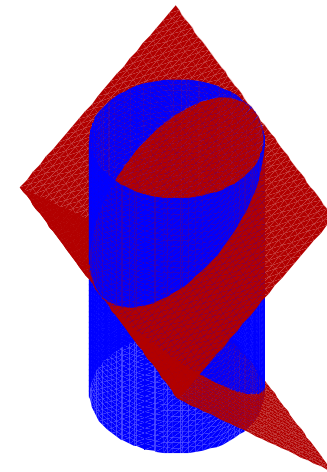
Définition

\mathcal{I} est dit en **position de Noether générale** (p.N.g.) s'il existe r t.q.

- $K[x_1, \dots, x_r] \cap \mathcal{I} = (0)$,
- $\forall j \in \{r + 1, \dots, n\}, \exists q \in \mathcal{I} \cap K[x_1, \dots, x_r, x_j]$ tel que $\deg_{x_j}(q) = \deg(q)$.

Exemple

$((x_2 - 1)^2 + x_1^2 - 1, x_3^2 - x_2^2)$ est en p.N.g.



Le $K[x_1, \dots, x_r]$ -module \mathbb{B}

Soit \mathcal{I} un idéal de $K[x_1, \dots, x_n]$ en p.N.g., et soit

$$\mathbb{B} = K[x_1, \dots, x_r][x_{r+1}, \dots, x_n]/\mathcal{I}.$$

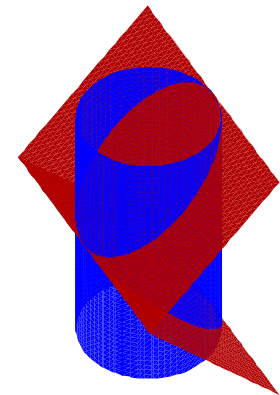
Proposition

Le $K[x_1, \dots, x_r]$ -module \mathbb{B} est **sans torsion** ssi \mathcal{I} est **r -équidimensionnel** (i.e. ses premiers associés sont tous de dimension r).

CAS D'UNE COURBE

Si \mathcal{I} est un idéal 1-équidimensionnel, alors \mathbb{B} est un $K[x_1]$ -module libre de type fini.

Exemple $K[x_1, x_2, x_3]/(x_1^2 + (x_2 - 1)^2 - 1, x_3^2 - x_2^2)$ est un $K[x_1]$ -module libre de type fini.



Élément Primitif

Définition

Soit \mathcal{I} en p.N.g. radical, et $\mathcal{I}' = \mathcal{I}K(x_1, \dots, x_r)[x_{r+1}, \dots, x_n]$.
On dit que x_{r+1} est primitif pour \mathcal{I} si ses puissances engendrent le $K(x_1, \dots, x_r)$ -espace vectoriel

$$\mathbb{B}' = K(x_1, \dots, x_r)[x_{r+1}, \dots, x_n]/\mathcal{I}'.$$

Propriété utile

Si \mathcal{I} est un idéal zéro-dimensionnel, et si x_1 est primitif pour \mathcal{I} , alors x_1 sépare les racines de \mathcal{I} .

Représentation de Kronecker d'une Courbe Réduite

Soit \mathcal{I} un idéal radical 1-équidimensionnel en p.N.g..

On suppose que x_2 est primitif pour \mathcal{I} ,
et on note q son polynôme minimal dans

$$\mathbb{B}' = K(x_1)[x_2, \dots, x_n] / \mathcal{I}K(x_1)[x_2, \dots, x_n].$$

Proposition

$\exists ! q, v_3, \dots, v_n \in K(x_1)[x_2]$, $\deg(v_i) \leq \deg(q) - 1$ tels que
 $\mathcal{I}K(x_1)[x_2, \dots, x_n] = (q, x_3 - v_3, \dots, x_n - v_n)$.

$\exists ! q, w_3, \dots, w_n \in K[x_1, x_2]$, $\deg_{x_2}(w_i) \leq \deg_{x_2}(q) - 1$ tels
que $\mathcal{I}K(x_1)[x_2, \dots, x_n] = (q, \frac{\partial q}{\partial x_2} x_3 - w_3, \dots, \frac{\partial q}{\partial x_2} x_n - w_n)$.

\rightsquigarrow La suite q, w_3, \dots, w_n est la représentation de Kronecker de \mathcal{I} .

Propriétés utiles

$\mathcal{I} \cap K[x_1, x_2] = (q)$ et $\forall j \in \{3, \dots, n\}$, $\frac{\partial q}{\partial x_2} x_j - w_j \in \mathcal{I}$.

1. Position de Noether, élément primitif et représentation de Kronecker.
2. Calcul du radical : l'algorithme Kronecker.
3. Module localisé de la courbe et intersection.

On veut résoudre $f_1 = \dots = f_s = 0, g \neq 0$.

\rightsquigarrow On suppose que $s = n$.

Réduction à une Suite Régulière

$$\text{On pose } \begin{cases} h_1 &= \alpha_{1,1}f_1 + \cdots + \alpha_{1,n}f_n, \\ &\vdots \\ h_n &= \alpha_{n,1}f_1 + \cdots + \alpha_{n,n}f_n. \end{cases}$$

Proposition

Pour $(\alpha_{k,l})$ dans un ouvert de Zariski dense, on a

$\forall i \in \{1, \dots, n-1\}$,

- $(h_1, \dots, h_i) : g^\infty$ est radical,
- h_{i+1} ne divise pas zéro dans $K[x_1, \dots, x_n] / (h_1, \dots, h_i) : g^\infty$
- $(h_1, \dots, h_n) : g^\infty = (f_1, \dots, f_n) : g^\infty$.

\rightsquigarrow On note f_1, \dots, f_n les nouvelles équations.

\rightsquigarrow En particulier, $\mathcal{I} = (f_1, \dots, f_{n-1}) : g^\infty$ est un idéal radical 1-équidimensionnel.

Coordonnées Suffisamment Génériques

Proposition

Pour ϕ dans un ouvert de Zariski dense des changements de variables affines,

- $\mathcal{I} = (f_1 \circ \phi, \dots, f_{n-1} \circ \phi) : g \circ \phi^\infty$ est en p.N.g. ;
- x_2 est primitif pour \mathcal{I} ;
- x_1 est primitif pour $\sqrt{\mathcal{I} \circ \phi + (f_n) \circ \phi}$.
(x_1 sépare les racines de $\mathcal{I} \circ \phi + (f_n) \circ \phi$ dans $\overline{\mathbf{K}}^n$.)

\rightsquigarrow on note f_1, \dots, f_n les nouvelles équations.

Résolution de la Suite Régulière

Étant donnés f_1, \dots, f_n, g de degré au plus d tels que

- $\forall i \in \{1, \dots, n-1\}$, $(f_1, \dots, f_i) : g^\infty$ est radical, et f_{i+1} ne divise pas zéro dans $K[x_1, \dots, x_n]/(h_1, \dots, h_i) : g^\infty$;
- $\mathcal{I} = (f_1, \dots, f_{n-1}) : g^\infty$ est en p.N.g., avec x_2 comme élément primitif,

l'algorithme dit **Kronecker** calcule

- la représentation de Kronecker q, w_3, \dots, w_n de \mathcal{I} pour x_2 ;
- les racines de $(\mathcal{I} + (f_n)) : g^\infty$ avec leur **multiplicités**, qui sont les dimensions de leurs algèbres locales,

en

$$\tilde{O}(n(nL + n^4)d^{2(n+1)})$$

opérations dans K , où L est le coût d'évaluation de f_1, \dots, f_n, g .

Historique rapide de l'algorithme Kronecker

- 1990–1999** Algorithmes probabilistes théoriques avec un coût polynomial en le degré géométrique pour calculer les racines isolées : Fitchas, Giusti, Hägele, Heintz, Matera, Montaña, Morais, Morgenstern, Pardo, Sabia, Smietanski.
- 1999–2001** Algorithmes pratiques et implantation : Aldaz, Bruno, Castaño, Hägele, Heintz, Llovet, Marchand, Martínez, Matera, Wachenchauzer, [*Giusti, Lecerf, Salvy 01*], [*Magma Kronecker package*].
- 2001–2003** Généralisations pour le calcul de la décomposition équidimensionnelle d'une variété : Jeronimo, Lecerf, Krick, Puddu, Sabbia, Sombra,...
- 2006** une preuve autonome, calcul des multiplicités des racines isolées sans coût supplémentaire : [*Durvye, Lecerf, 2007*]
- 2007** Description algébrique des racines isolées.

Données après le Calcul du Radical

$\rightsquigarrow q, w_3, \dots, w_n \in K[x_1, x_2]$, représentation de Kronecker d'un idéal \mathcal{I} 1-équidimensionnel radical en p.N.g.,

\rightsquigarrow un polynôme $f(= f_n)$ tels que

– $\mathcal{I} + (f)$ est zéro-dimensionnel,

– x_1 est un élément primitif pour $\sqrt{\mathcal{I} + (f)}$,

– l'origine 0 est un zéro multiple de $(\mathcal{I} + (f)) : g^\infty$.

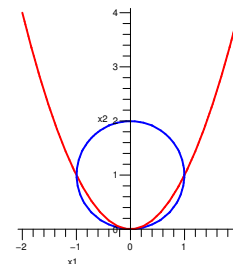
On veut calculer

$$\mathbb{D}_0 = \overline{K}[[x_1, \dots, x_n]]/(\mathcal{I} + (f))_0.$$

Exemple

$$\mathcal{I} = (x_1^2 + (x_2 - 1)^2 - 1),$$

$$f = x_2 - x_1^2.$$



1. Position de Noether, élément primitif et représentation de Kronecker.
2. Calcul du radical : l'algorithme Kronecker.
3. **Module localisé de la courbe et intersection.**

Module de la Courbe et Algèbres Locales

Proposition

Comme \mathcal{I} est un idéal radical 1-équidimensionnel en p.N.g., $\mathbb{B} = K[x_1, \dots, x_n]/\mathcal{I}$ est un $K[x_1]$ -module libre de type fini, de dimension $\delta = \deg_{x_2}(q)$.

Proposition

Soient p_1, p_2, \dots, p_ℓ les racines de $\mathcal{I} + (f)$ dans \overline{K}^n .

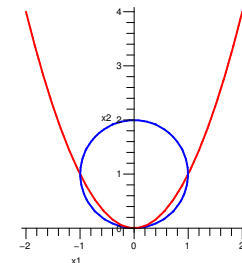
On a

$$\overline{K} \otimes \mathbb{B}/(f) \simeq \mathbb{D}_{p_1} \times \mathbb{D}_{p_2} \times \cdots \times \mathbb{D}_{p_\ell}.$$

Exemple

$$n = 2, \mathcal{I} = (x_1^2 + (x_2 - 1)^2 - 1), f = x_2 - x_1^2.$$

$$\overline{K} \otimes \mathbb{B}/(f) \simeq \mathbb{D}_{(0,0)} \times \mathbb{D}_{(1,1)} \times \mathbb{D}_{(-1,1)}.$$



Localisation et Complétion en $x_1 = 0$

Soient

- $K[[x_1]]$ l'anneau des séries formelles en x_1 ,
- et $\mathcal{I}_0 = \mathcal{I}K[[x_1]][x_2, \dots, x_n]$.

On pose

$$\mathbb{B}_0 = K[[x_1]][x_2, \dots, x_n]/\mathcal{I}_0.$$

Proposition

\mathbb{B}_0 est un $K[[x_1]]$ -module libre de type fini, de dimension $\delta = \deg_{x_2}(q)$. De plus, on a

$$\overline{K} \otimes \mathbb{B}_0/(f) \simeq \mathbb{D}_0.$$

Exemple $\mathcal{I} + (f) = (x_1^2(x_1 - 1)(x_1 + 1), x_2 - x_1^2)$.

$(\mathcal{I} + (f))K[[x_1]][x_2] = (x_1^2, x_2)$, et $\overline{K} \otimes \mathbb{B}_0/(f) \simeq \mathbb{D}_{(0,0)}$.

Algorithme pour le Calcul de \mathbb{D}_0

Entrée :

- q, w_3, \dots, w_n , représentation de Kronecker de $\mathcal{I} = (f_1, \dots, f_{n-1}) : g^\infty$;
- $f = f_n$.

Sortie :

- les matrices de multiplication par les variables dans une base de l'algèbre locale \mathbb{D}_0 de la racine 0.

Étape 1 Calculer une base du module localisé de la courbe

$$\mathbb{B}_0 = K[[x_1]][x_2, \dots, x_n]/\mathcal{I}_0.$$

Étape 2 Calculer la forme de Smith de la multiplication par f dans \mathbb{B}_0 , puis les matrices M_{x_1}, \dots, M_{x_n} dans une base de

$$\mathbb{D}_0 \simeq \overline{K} \otimes \mathbb{B}_0/(f).$$

Étape 1 : calcul d'une base de \mathbb{B}_0

Entrée : la représentation de Kronecker (q, w_2, \dots, w_n) de \mathcal{I} .

Sortie : une base de $\mathbb{B}_0 = K[[x_1]][x_2, \dots, x_n]/\mathcal{I}_0$,
où $\mathcal{I}_0 = \mathcal{I}K[[x_1]][x_2, \dots, x_n]$.

Propriétés de \mathbb{B}_0 (1)

\mathbb{B}_0 est une sous algèbre de la clôture entière de $K[[x_1]]$ dans $K((x_1))[x_2]/(q)$, où $K((x_1))$ désigne l'anneau des séries de Laurent.

Proposition

\mathbb{B}_0 est un sous-module de

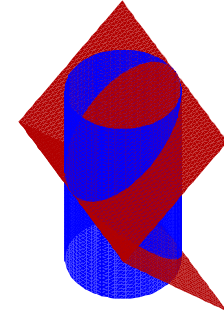
$$\begin{aligned}\mathbb{L}_0 &= K[[x_1]] \frac{1}{\text{Disc}_{x_2}(q)} \oplus \cdots \oplus K[[x_1]] \frac{x_2^{\delta-1}}{\text{Disc}_{x_2}(q)} \\ &= K[[x_1]] \frac{1}{x_1^m} \oplus \cdots \oplus K[[x_1]] \frac{x_2^{\delta-1}}{x_1^m},\end{aligned}$$

où $\delta = \deg_{x_2}(q)$, et $m \leq \delta(\delta - 1)$ est la valuation en x_1 du discriminant $\text{Disc}_{x_2}(q) \in K[[x_1]]$ de q par rapport à x_2 .

Exemple

Exemple

$$\begin{cases} f_1 = (x_2 - 1)^2 + (x_1 + 2x_2 + 4x_3)^2 + 1 \\ f_2 = x_3^2 - x_2^2 \end{cases}$$



La représentation de Kronecker de $\mathcal{I} = (f_1, f_2)$ est

$$q = x_2^4 + \frac{(84-88x_1)}{185}x_2^3 + \frac{(4-6x_1^2)}{185}x_2^2 + \frac{(x_1^3+x_1^2)}{185}x_2 + \frac{x_1^4}{185},$$

$$w_3 = -\frac{208x_1-64}{185}x_2^3 + \frac{64x_1^2}{185}x_2^2 + \frac{16x_1^3}{185}x_2.$$

$\text{Disc}_{x_2}(q)$ a pour valuation **6**.

$$\mathbb{L}_0 = K[[x_1]] \frac{1}{x_1^6} \oplus K[[x_1]] \frac{x_2}{x_1^6} \oplus K[[x_1]] \frac{x_2^2}{x_1^6} \oplus K[[x_1]] \frac{x_2^3}{x_1^6}$$

$$\text{et } x_3 = \frac{370x_1^5}{32} \left(\sum_{l \in \mathbb{N}} \left(\frac{17}{4} \right)^l x_1^l \right) \frac{x_2^3}{x_1^6} + \dots \quad \left(\text{car } \frac{\partial q}{\partial x_2} x_3 - w_3 \in \mathcal{I}. \right)$$

Propriétés de \mathbb{B}_0 (2)

On pose

$$\mathbb{M}_0 = K[[x_1]] \oplus \cdots \oplus K[[x_1]]x_2^{\delta-1}.$$

Proposition

Comme $\mathcal{I} \cap K[x_1, x_2] = (q)$,

\mathbb{M}_0 est un sous-module de \mathbb{B}_0 .

Cardinal d'une chaîne de sous-modules

$$\mathbb{L}_0 = K[[x_1]]\frac{1}{x_1^m} \oplus \cdots \oplus K[[x_1]]\frac{x_2^{\delta-1}}{x_1^m}.$$

Soit $\mathbb{M}_0 \subsetneq \mathbb{M}_1 \subsetneq \cdots \subsetneq \mathbb{M}_\gamma \subset \mathbb{L}_0$ une chaîne de sous-modules de \mathbb{L}_0 . Alors $\gamma \leq m\delta$.

Calcul de \mathbb{B}_0

$\rightsquigarrow \mathbb{B}_0$ est la plus petite algèbre qui contient \mathbb{M}_0 et x_3, \dots, x_n .

Entrée : la représentation de Kronecker de \mathcal{I} .

Sortie : une base de $\mathbb{B}_0 = \mathbf{K}[[x_1]][x_2, \dots, x_n]/\mathcal{I}_0$.

Algorithme

- soit $\mathbb{M} = \mathbb{M}_0 (= \mathbf{K}[[x_1]] \oplus \dots \oplus \mathbf{K}[[x_1]]x_2^{\delta-1})$;
- calculer $\mathbb{M}' = \mathbb{M} + \mathbf{K}[[x_1]]x_3 + \dots + \mathbf{K}[[x_1]]x_n$;
- tant que $\mathbb{M} \neq \mathbb{M}'$,
 - $\mathbb{M} = \mathbb{M}'$, donné par une base e_1, \dots, e_δ ,
 - $\mathbb{M}' = \mathbb{M} + \sum_{1 \leq i, j \leq \delta} \mathbf{K}[[x_1]]e_i e_j$.

Coût

Le calcul de \mathbb{B}_0 coute $\tilde{O}((n + m)m\delta^5)$ opérations dans \mathbf{K} .

Conclusion

Théorème [*Durvye 07*]

Sous les hypothèses précédentes,

il existe un **algorithme probabiliste** qui calcule

- les racines p du système,
- les matrices de multiplication par x_1, \dots, x_n dans une base de leur algèbre locale \mathbb{D}_p ,

avec

$\tilde{O}(D^{11} + (L + ns)D^6)$ opérations arithmétiques dans K ,

où

- n est le nombre de variables,
- L est le coût d'évaluation de f_1, \dots, f_s, g donnés par un circuit arithmétique,
- et $D = d^n$, où $d \geq 2$ est le maximum des degrés de f_1, \dots, f_s .